

## 球形土粒子の空隙分布の解析

北海道大学 正員 藤田 瞳博  
 北見工業大学 正員 中尾 隆志  
 北海道大学 学生員 西村 貴之

## 1. はじめに

山腹斜面内における雨水の流れを、不飽和浸透流として解析しようする場合、 $\theta$ (体積含水率)～ $\psi$ (サクション)あるいは $K$ (不飽和透水係数)～ $\theta$ の関係式を与えるなければならない。現段階では、これらの関係式を実験的に求めざるを得ない。

本研究では、まず、 $\theta$ (体積含水率)～ $\psi$ (サクション)の関係を理論的に求めることを目的としている。実在の土粒子は複雑な形状をしており、理論的取扱いを簡単にするために、球形土粒子を想定する。

## 2. 粒子間のリング水

球形粒子間のサクションにより保持されるリング水については、中尾・藤田<sup>1)</sup>らの研究がある。これによると不飽和時において土粒子の接合部では、水の表面張力によりサクションが発生し、水の一部はリング水として保水される。図-1に示すように土粒子として半径 $R_1$ 、 $R_2$ からなる2つの球を考え、2球が $\delta$ の距離にあるものとする。リング水の曲率半径を $r_1$ 、 $r_2$ とし水と空気の表面張力を $\sigma$ 、また土粒子と水の接触角を $0$ とすると水( $P_w$ )と大気( $P_a$ )の圧力差は式(2.1)に示される。表面張力のラプラスの式で与えられる曲率半径 $r_1$ 、 $r_2$ は図-1を参考にし、平面三角の性質より式(2.2)、(2.3)となる。

$$P_w - P_a = \sigma \left( \frac{1}{r_1} + \frac{1}{r_2} \right) \quad (2.1)$$

$$r_1 = R_1 \sin \omega_1 + r_2 (\sin \omega_1 - 1) \quad (2.2)$$

$$r_2 = \frac{(R_1 + \delta)(R_1 + R_2 + \delta) + R_1(R_1 - 2(R_1 + R_2 + \delta) \cos \omega_1)}{2((R_2 - R_1) + (R_1 + R_2 + \delta) \cos \omega_1)} \quad (2.3)$$

またサクションによる保水量は次式で与えられる。

$$V_w = \pi r_2 [(A^2 + r_2^2)(\cos \omega_1 + \cos \omega_2) - A r_2 (\sin \phi \cdot \cos(\omega_1 - \omega_2) + \pi - \phi)]$$

$$-\frac{\pi}{3} (r_2^2 (\cos^3 \omega_1 + \cos^3 \omega_2) + R_1^2 (1 - \cos \omega_1)^2 (2 + \cos \omega_1)) \quad (2.4)$$

$$+ R_2^2 (1 - \cos \omega_2)^2 (2 + \cos \omega_2)$$

式(2.2)、(2.3)よりリング水を形成する $\omega_1$ の範囲は

$$\cos(\omega_1) > \frac{R_1 - R_2}{R_1 + R_2 + 2\Delta} \quad (2.5)$$

$$\frac{\alpha \beta - \sqrt{\alpha^2 \beta^2 - \Delta \beta (R_1(\alpha + \beta) + \Delta \beta)}}{R_1(\alpha + \beta) + \Delta \beta} \leq \tan \frac{\beta}{2} \leq \frac{\alpha \beta + \sqrt{\alpha^2 \beta^2 - \Delta \beta (R_1(\alpha + \beta) + \Delta \beta)}}{R_1(\alpha + \beta) + \Delta \beta} \quad (2.6)$$

$$\alpha = L_1 + \Delta, \quad \beta = L_2 + \Delta$$

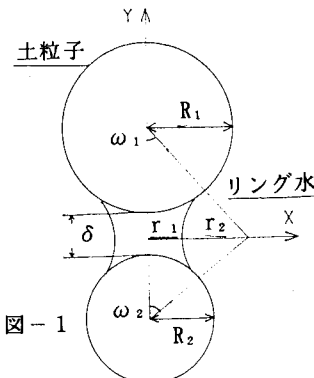


図-1

probabilistic characteristics for void in soil composed of spherocal particles.

By MUTSUHIRO FUJITA, TAKASHI NAKAO, TAKAYUKI NISHIMURA

### 3. 土粒子の間の空隙の確率特性

粒子半径Rの確率密度関数をN(R)とすると、粒子1個の体積Vの確率密度関数は式(3.1)で与えられる。

$$F_1(V) = \frac{1}{4\pi} \left(\frac{4\pi}{3}\right)^{\frac{2}{3}} V^{\frac{-2}{3}} N\left(\left(\frac{3}{4\pi}\right)^{\frac{1}{3}}\right) \quad (3.1)$$

つぎに、この粒子を任意の大きさの体積V<sub>i</sub>に空隙率λで充填したとき、X個の粒子が充填される確率密度関数を求めてみよう。X個の粒子の体積の和をT<sub>x</sub>とする

$$T_x = \sum_{i=1}^x V_i \quad (3.2)$$

Xの数が大きいと、中心極限定理によりT<sub>x</sub>は正規分布に漸近する。よって、T<sub>x</sub>の確率密度関数をF<sub>2</sub>(T<sub>x</sub>)とおくと、式(3.3)のようになる。

$$F_2 = \frac{1}{\sqrt{2\pi} \sigma_{Tx}} e^{-\frac{(T_x - \bar{T}_x)^2}{\sigma_{Tx}^2}} \quad (3.3)$$

ここに、 $\bar{T}_x$  : T<sub>x</sub>の期待値       $\sigma_{Tx}$  : T<sub>x</sub>の標準偏差

$\bar{T}_x$ ,  $\sigma_{Tx}$ は、式(3.2)を考慮すると、式(3.4)のようになる。

$$\bar{T}_x = x \bar{V}, \quad \sigma_{Tx}^2 = x \sigma_v^2 \quad (3.4)$$

式(3.4)を式(3.3)に代入して、次式を得る。

$$\therefore F_2(T_x) = \frac{1}{\sqrt{2\pi x} \sigma_v} e^{-\frac{(T_x - x \bar{V})^2}{2x \sigma_v^2}} \quad (3.5)$$

任意の大きさの空間V<sub>u</sub>を考え、空間内にX個の粒子があるとすると。空隙率をλとすると、次の関係式が成立している。

$$T_x = V_u (1-\lambda) \quad (3.6)$$

式(3.6)を満たす粒子数Xの確率密度関数をF<sub>3</sub>(X)とおくと、

$$F_3(X) = F_2(T_x) dT_x = F_2(V_u (1-\lambda)) dT_x \quad (3.7)$$

したがって、F<sub>3</sub>(X)として次式を得る。

$$F_3(x) = \frac{1}{\sqrt{2\pi x} \sigma_v} e^{-\frac{(\bar{V} x - V_u (1-\lambda))^2}{2x \sigma_v^2}} \frac{dT_x}{dx} \quad (3.8)$$

F<sub>3</sub>(X)を厳密に定義するには、dT<sub>x</sub>/dXを与えるなければならない。

この関係式を式(3.9)で代用する。

$$\frac{dT_x}{dx} = \frac{d}{dx} (V_1 + V_2 + \dots + V_x) = \frac{d}{dx} (\bar{V} x) = \bar{V} \quad (3.9)$$

最終的には、次のようになる。

$$F_3(x) = \frac{\bar{V}}{\sqrt{2\pi x} \sigma_v} e^{-\frac{(\bar{V} x - V_u (1-\lambda))^2}{2x \sigma_v^2}} \quad (3.10)$$

式(3.9)を代用した近似度を吟味するために、矩形粒径分布を使用したシミュレーションをおこなった。図-3.1は採用した矩形粒径分布を示している。計算は、図-3.1を満たす粒子半径Rを計算機上で発生させ、式(3.11)を満足するXを求める。

$$T_x = \sum_{i=1}^x \frac{4}{3} \pi R_i^3 \quad (3.11)$$

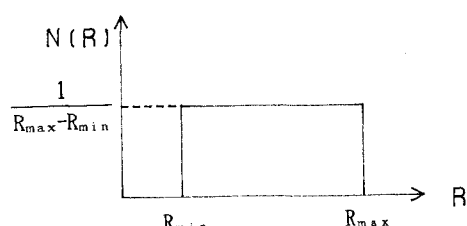


図-3.1

この計算を繰り返しXのヒストグラム、平均、分散等を求め得られた結果と式(3.10)と比較する手法を

採用した。計算では、 $T_x=2332\text{cm}^3$ とした。また、図-3.-1に粒径分布が与えられているので $V, \sigma_v$ を計算できる。この場合、つぎのようになる。

$$\sigma_v = \sqrt{\int v^2 F_1(v) dv - (\bar{v})^2} \quad V = \int v F_1(v) dv \quad (3.12)$$

図-3.2は、数値実験の結果と式(3.10)を比較したものであるが、式(3.9)の近似度は充分であることがあることがわかる。

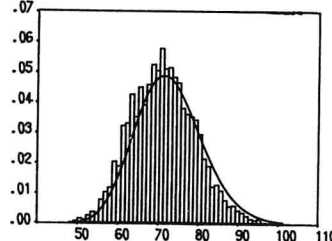


図-3.2

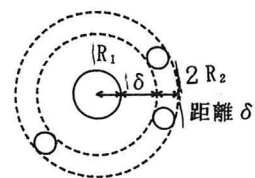


図-3.3

次に、粒子間の空隙の確率構造を調べるために、図-3.3のように半径 $R_1$ の粒子を中心として、その周囲に図のように半径 $R_2$ の粒子が $y$ 個存在する状態を考える。体積 $\frac{4}{3}\pi(R_1+\delta)^3$

の空間に粒子 $R_1$ が1個のみ存在し、その周りの空間

$$\frac{4}{3}\pi(R_1+\delta+2R_2)^3 - \frac{4}{3}\pi(R_1+\delta)^3 \quad (3.13)$$

に粒子 $R_2$ が $y$ 個存在する状態は、 $R_1$ と $R_2$ の粒子の組み合わせが生じる結合確率密度関数 $N(R_1, R_2) = N(R_1)N(R_2)$ なので、次式を得る。

$$\begin{aligned} & \frac{\bar{V}}{\sqrt{2\pi}\sigma_v} e^{-\frac{(\bar{V}-\frac{4}{3}\pi(R_1+\delta)^3(1-\lambda))^2}{2\sigma_v^2}} \frac{\bar{V}}{\sqrt{2\pi}y\sigma_v} \\ & \times \frac{\bar{V}}{\sqrt{2\pi}y\sigma_v} e^{-\frac{[(\bar{V}y-\frac{4}{3}\pi((R_1+\delta+2R_2)^3-(R_1+\delta)^3)(1-\lambda))^2]}{2y\sigma_v^2}} y N(R_1)N(R_2) \end{aligned} \quad (3.14)$$

ここで、式(2.4)を $V_w(R_1, R_2, \delta, w)$ と記述する。 $R_1, R_2$ は様々な値をとるので全体でのリング水の体積は、次のようにになる。

$$w = \iiint y V_w(R_1, R_2, \delta, w) \frac{\bar{V}}{\sqrt{2\pi}\sigma_v} e^{-\frac{(\bar{V}-\frac{4}{3}\pi(R_1+\delta)^3(1-\lambda))^2}{2\sigma_v^2}} \frac{\bar{V}}{\sqrt{2\pi}y\sigma_v}$$

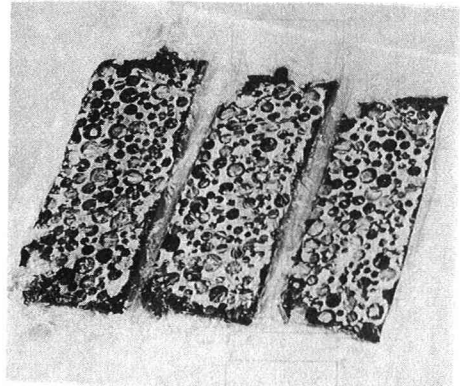


写真-4.1

$$e^{-\frac{[(\bar{V}y-\frac{4}{3}\pi((R_1+\delta+2R_2)^3-(R_1+\delta)^3)(1-\lambda))^2]}{2y\sigma_v^2}} N(R_1)N(R_2) dR_1 dR_2 dy \quad (3.15)$$

#### 4. ビーズ玉による実験

実際に球形粒子により構成される空隙の構造を確認するするために、次のような実験を行った。縦28cm、横20cm、高さ10cmの箱にビーズ玉を敷き詰める。ビーズ玉は、径7mm( $R_1$ )、10mm( $R_2$ )、15mm( $R_3$ )の3種類を用い、それぞれ1500個、700個、300個使用した。このときの体積から、空隙率 $\lambda$ を計算すると $\lambda=0.443$ を得た。

次に、この中にアスファルト乳剤を流し込み、その状態で放置しておくとおよそ1日で供試体が固まる。その供試体をダイヤモンドカッターを用いて4mm厚さでスライスする。ガラスピーブの最小径は、7mmなので4mm厚さの断面の中に埋もれることはない。隣合った2枚の断面層から、ガラスピーブ玉の位置、径が得られる。この2枚を1つの断面群とする。今回の実験では1つの断面から得られたガラスピーブは約20~30個である。これを7つの断面群で測定した。写真-4.1は、スライスされた供試体の断面を示している。測定は、写真に示すような断面上のビーズ玉の痕跡をデジタイザーでコンピューターに入力し、隣合った断面の情報から各ビーズ玉の径、球の中心の座標を求めた。

実験では、3種類の直径のビーズ玉を用いているので、互いに隣合う二つのビーズ玉の直径は、( $R_1, R_1$ )、( $R_1, R_2$ )、( $R_1, R_3$ )、( $R_2, R_2$ )、( $R_2, R_3$ )、( $R_3, R_3$ )の6通り組み合わせがある。これら6通り組み合わせごとに2つの粒子間の距離 $\delta$ のヒストグラムを求め、これを図-4.1に示している。

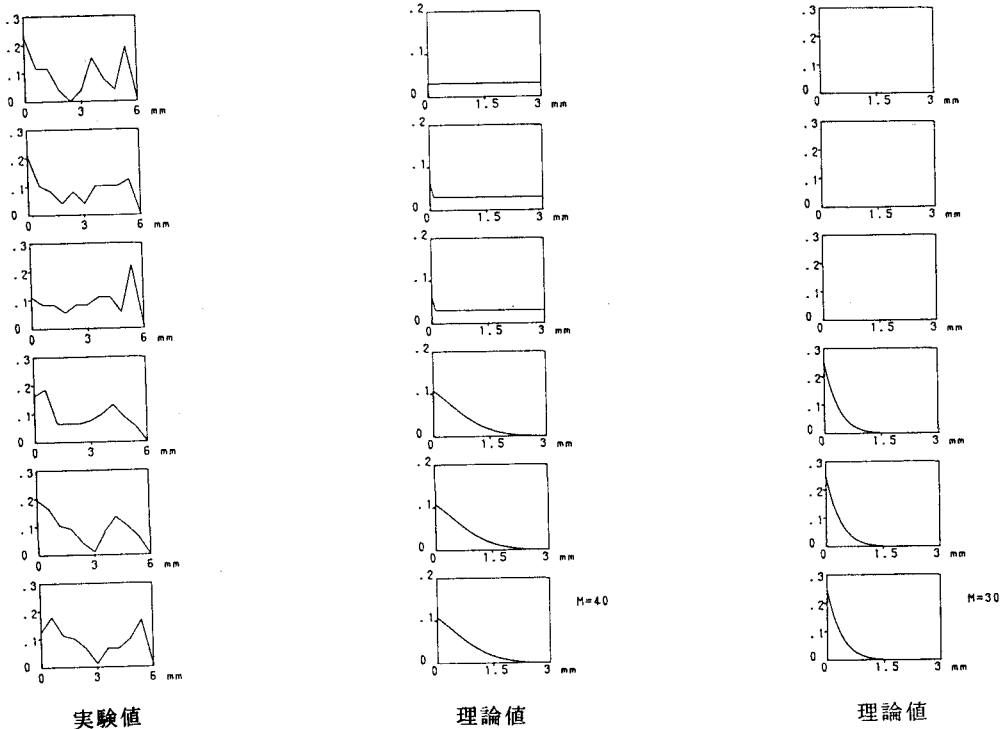


図-4.1

謝辞：本研究は文部省科学研究一般研究（B）（代表者、藤田睦博）の補助を受けたものである。関係各位に謝意を表します。

#### 参考文献

- 中尾隆志・藤田睦博：異球径粒子モデルを用いた土壤内の保水効果に関する研究、水文・水資源学会1992年研究発表会要旨集、130~133、1992